

**Математика**

УДК 519.6

М. Д. ГРИГОРЯН, С. А. АЮНЦ

**РЕШЕНИЕ НЕКОТОРЫХ ЗАДАЧ ОПТИМАЛЬНОГО  
УПРАВЛЕНИЯ**

Настоящая статья посвящена решению трех конкретных задач оптимального управления, которые являются обобщениями задачи Бушау.

Здесь даются полный синтез и обоснование существования решений этих задач.

Пусть имеется объект, совершающий прямолинейное движение под воздействием внешней силы, которую можно изменять в заданных пределах. Требуется остановить объект в определенном положении в кратчайшее время с минимальной затратой ресурсов на формирование управляющего воздействия.

Задача формализуется следующим образом:

$$I. \int_0^T (1 + \varepsilon|u|) dt \rightarrow \inf, \quad \ddot{x} = u, \quad |u| \leq 1,$$

$$x(0) = x_0, \quad \dot{x}(0) = v_0,$$

$$\varepsilon \geq 0, \quad T - \text{свободно}, \quad x(T) = \dot{x}(T) = 0.$$

При  $\varepsilon = 0$  она переходит в классическую задачу оптимального быстродействия.

Формализованную выше задачу I так же, как и следующие далее II и III, будем решать применением принципа Лагранжа для задач оптимального управления [1—3].

Приступим к решению задачи I.

Введя фазовые координаты  $x_1 = x$ ,  $x_2 = \dot{x}$ , переходим к следующей задаче:

$$\int_0^T (1 + \varepsilon|u|) dt \rightarrow \inf \quad \begin{cases} \dot{x}_1 = x_2, \\ \dot{x}_2 = u, \end{cases} \quad (1)$$

$$\begin{cases} x_1(0) = x_0, \quad x_2(0) = v_0, \\ x_1(T) = x_2(T) = 0, \end{cases}$$

$$\varepsilon \geq 0, \quad T - \text{свободно}.$$

Составим функцию Лагранжа

$$\bar{L}(x_1(\cdot), x_2(\cdot), u(\cdot), \hat{p}_1(\cdot), \hat{p}_2(\cdot), \hat{\lambda}_0, \hat{\lambda}_1, \hat{\lambda}_2, \hat{\mu}_1, \hat{\mu}_2) = \int_0^T L dt + l,$$

где

$$L(t, x_1, x_2, u) = \hat{\lambda}_0(1 + \varepsilon|u|) + \hat{p}_1(\dot{x}_1 - x_2) + \hat{p}_2(\dot{x}_2 - u),$$

$$l(x_1(0), x_2(0), x_1(T), x_2(T)) = \hat{\lambda}_1(x_1(0) - x_0) + \hat{\lambda}_2(x_2(0) - v_0) + \hat{\mu}_1 x_1(T) + \hat{\mu}_2 x_2(T).$$

Уравнения Эйлера для функции  $L$  имеют вид

$$\dot{\hat{p}}_1 = 0, \quad (2)$$

$$-\dot{\hat{p}}_2 - \dot{\hat{p}}_1 = 0. \quad (3)$$

Выпишем условия трансверсальности

$$\hat{p}_1(0) = \hat{\lambda}_1, \quad \hat{p}_2(0) = \hat{\lambda}_2, \quad \hat{p}_1(\hat{T}) = -\hat{\mu}_1, \quad \hat{p}_2(\hat{T}) = -\hat{\mu}_2, \quad (4)$$

$$\frac{\partial L}{\partial T} \Big|_{T=\hat{T}} = \hat{\lambda}_0(1 + \varepsilon|\hat{u}(\hat{T})|) + \hat{\mu}_1 \dot{\hat{x}}_1(\hat{T}) + \hat{\mu}_2 \dot{\hat{x}}_2(\hat{T}) = 0. \quad (5)$$

Если допустить, что  $\hat{\lambda}_0 = 0$ , то из условия минимальности по  $u$

$$\hat{\lambda}_0 \varepsilon |u| - \hat{p}_2(t)u \rightarrow \inf, \quad |u| \leq 1, \quad (6)$$

имеем  $\hat{u}(t) = \text{sign } \hat{p}_2(t)$ . Из (5) и граничных условий следует, что  $\hat{\mu}_2 \hat{u}(\hat{T}) = 0$ . Из условий трансверсальности (4) получим

$$\hat{u}(\hat{T}) \hat{p}_2(\hat{T}) = \hat{p}_2(\hat{T}) \text{sign} \hat{p}_2(\hat{T}) = |\hat{p}_2(\hat{T})| = 0, \quad \text{т. е. } \hat{p}_2(\hat{T}) = 0.$$

Но ввиду (2) и (3)  $\hat{p}_2(t) = c(t - \hat{T})$ , и  $\hat{p}_2(t)$  не меняет знак в интервале  $[0, \hat{T}]$ . Заметим, что  $c \neq 0$ , в противном случае все множители Лагранжа были бы равны нулю. Значит,  $\hat{u}(t) \equiv 1$  или  $\hat{u}(t) \equiv -1$ . Следовательно, если  $(x_0, v_0) \in \Gamma$ , где

$$\Gamma = \left\{ (x_1, x_2), \begin{array}{ll} x_1 = x_2^2/2, & x_2 \leq 0, \\ x_1 = -x_2^2/2, & x_2 > 0, \end{array} \right\}$$

то  $\hat{\lambda}_0 = 1$ , ибо если  $\hat{\lambda}_0 = 0$  и  $(x_0, v_0) \in \Gamma$ , то  $(\hat{u}(t), \hat{x}(t))$  — недопустимая пара.

Из (2) и (3) следует, что  $\hat{p}_2(t) = at + b$ , а из (4) и (5) имеем

$$1 + \varepsilon |\hat{u}(\hat{T})| - \hat{p}_2(\hat{T}) \hat{u}(\hat{T}) = 0. \quad (7)$$

Условие минимальности по  $u$  при  $\hat{\lambda}_0 = 1$  имеет вид

$$\varepsilon|u| - \hat{p}_2(t)u \rightarrow \inf, |u| \leq 1,$$

откуда

$$\hat{u}(t) = \begin{cases} 0 & \text{при } |\hat{p}_2(t)| \leq \varepsilon, \\ \operatorname{sign} \hat{p}_2(t) & \text{при } |\hat{p}_2(t)| > \varepsilon. \end{cases}$$

Из условия (7) имеем  $\hat{u}(\hat{T}) \neq 0$ , поэтому  $\hat{u}(\hat{T}) = \operatorname{sign} \hat{p}_2(\hat{T})$  и, следовательно,  $|\hat{p}_2(\hat{T})| = 1 + \varepsilon$ .

Возможны два симметричных варианта:

а)  $\hat{p}_2(\hat{T}) = 1 + \varepsilon$  или б)  $\hat{p}_2(\hat{T}) = -(1 + \varepsilon)$

в зависимости от начальных условий  $(x_0, v_0)$ .

Рассмотрим случай а).

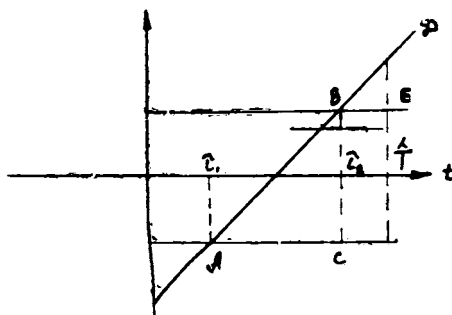


Рис. 1.

На рис. 1 через  $\tau_1$  и  $\tau_2$  обозначены моменты переключения. Управление в этом случае имеет вид

$$\hat{u}(t) = \begin{cases} -1 & 0 \leq t < \tau_1, \\ 0 & \tau_1 \leq t \leq \tau_2, \\ 1 & \tau_2 < t \leq \hat{T}. \end{cases}$$

При  $u = -1$  семейство траекторий в фазовой плоскости  $(x_1, x_2)$  есть  $x_1 = -x_2^2/4 + c$ , а при  $u = 1$  есть  $x_1 = x_2^2/2 + c$ . При  $u = 0$  получаются прямые, параллельные оси  $x_1$ .

Из подобия треугольников ABC и BDE (рис. 1) имеем

$$(\hat{T} - \tau_2)/(\tau_2 - \tau_1) = 1/2\varepsilon.$$

Ввиду постоянства скорости  $x_2$  в промежутке  $[\tau_1, \tau_2]$   $x_1(\tau_2) - x_1(\tau_1) = x_2(\tau_2)(\tau_2 - \tau_1)$ . (8)

Из уравнений движения (1) на  $[\tau_2, \hat{T}]$ , где управление равно 1, получим  $x_2(\tau_2) = \tau_2 - \hat{T}$ ,  $x_1(\tau_2) = (\hat{T} - \tau_2)^2/2$ .

Далее, используя (8), найдем

$$\begin{aligned} x_1(\tau_1) &= x_1(\tau_2) - x_2(\tau_2)(\tau_2 - \tau_1) = \frac{(\hat{\Gamma} - \tau_2)^2}{2} + 2\epsilon(\hat{\Gamma} - \tau_2)^2 = \\ &= \frac{1+4\epsilon}{2} x_2^2(\tau_1). \end{aligned}$$

Следовательно, в случае а) линия переключения от управления  $u = -1$  к  $u = 0$  есть кривая  $x_1 = (1+4\epsilon)x_2^2/2$ ,  $x_2 < 0$ . Легко убедиться, что вторая линия переключения от 0 к 1 есть кривая  $x_1 = x_2^2/2$ ,  $x_2 < 0$ .

Анализируя случай б), окончательно приходим к следующей картине (рис. 2).

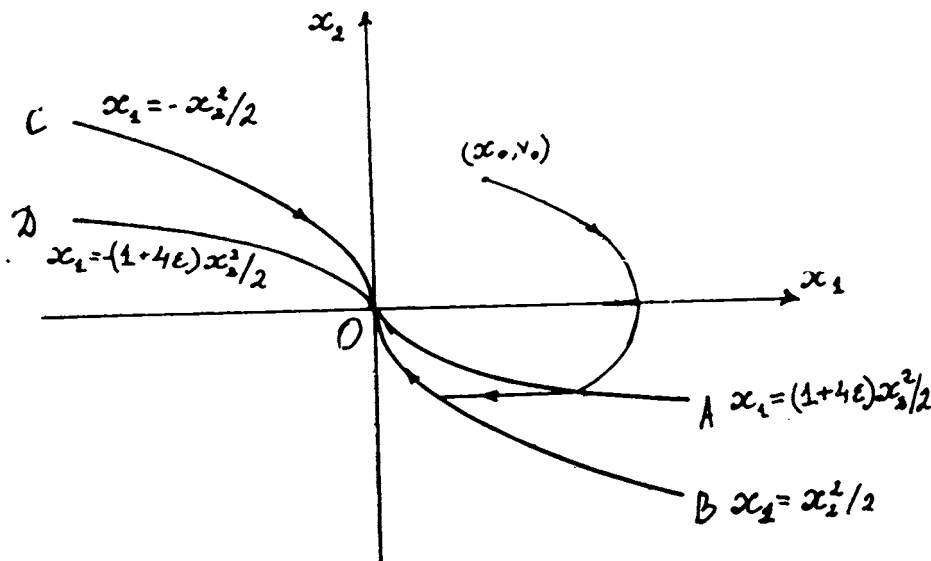


Рис. 2.

Выпишем функцию синтеза для задачи 1.

$$u(x_1, x_2) = \begin{cases} 0, & \text{если } (x_1, x_2) \text{ находится на линии AOD или между AOD и BOC.} \\ -1, & \text{, , , выше линии AOC и на дуге CO.} \\ 1, & \text{, , , ниже линии BOC и на дуге BO.} \end{cases}$$

Заметим, что при  $\epsilon=0$  кривая AOD совпадает с кривой  $\Gamma$ , что полностью соответствует задаче оптимального быстродействия.

Рассмотрим теперь следующую задачу:

$$\text{II} \quad \int_0^T (1+\epsilon u^2) dt \rightarrow \inf, \quad \ddot{x} = u, \quad |u| \leq 1, \quad x(0) = x_0, \quad \dot{x}(0) = v_0,$$

$\epsilon \geq 0, \quad T - \text{свободно}, \quad x(T) = \dot{x}(T) = 0.$

«Техническое» содержание задачи II то же самое, что и в задаче I.

После введения фазовых координат, легко увидеть, что здесь уравнения Эйлера и условия трансверсальности те же самые, что и в I, кроме условия стационарности по  $T$ , которое имеет вид

$$\frac{\partial L}{\partial T} \Big|_{T=\hat{T}} = \hat{\lambda}_0(1+\epsilon \hat{u}(\hat{T})) + \hat{\mu}_1 \hat{x}_1(\hat{T}) + \hat{\mu}_2 \hat{x}_2(\hat{T}) = 0. \quad (9)$$

Как и в задаче I, можно убедиться, что при  $(x_0, v_0) \in \Gamma$   $\hat{\lambda}_0$  равно единице.

Используя принцип минимума, уравнение Эйлера и полагая  $\hat{\lambda}_0=1$ , находим вид оптимального управления:

$$\hat{u}(t) = \begin{cases} \hat{p}_2(t)/2\epsilon, & \text{если } |\hat{p}_2(t)| \leq 2\epsilon; \\ \operatorname{sign} \hat{p}_2(t), & \text{если } |\hat{p}_2(t)| > 2\epsilon, \end{cases} \quad (10)$$

где  $\hat{p}_2(t) = at + b$ . С помощью граничных условий и условий трансверсальности выражение (9) преобразуется к

$$1 + \epsilon [\hat{u}(\hat{T})]^2 - \hat{p}_2(\hat{T})\hat{u}(\hat{T}) = 0. \quad (11)$$

Из (10) и (11) для  $\hat{p}_2(\hat{T})$  следует возможность двух вариантов:

$$1) |\hat{p}_2(\hat{T})| = 1 + \epsilon \text{ или } 2) \hat{p}_2(\hat{T}) = 2\epsilon \hat{u}(\hat{T}).$$

Причем, используя (10), в варианте 1) получим  $\epsilon < 1$ , а с учетом (10) и ограничения  $|\hat{u}| \leq 1$  для варианта 2) будем иметь  $\epsilon \geq 1$ .

Рассмотрим вариант 1)  $|\hat{p}_2(\hat{T})| = 1 + \epsilon$ .

Здесь возможно два симметричных случая: а)  $\hat{p}_2(\hat{T}) = 1 + \epsilon$ ; б)  $\hat{p}_2(\hat{T}) = -(1 + \epsilon)$ .

В случае а) нетрудно убедиться, что управление, выраженное через моменты переключения, выглядит так:

$$\hat{u}(t) = \begin{cases} -1 & 0 \leq t < \tau_1, \\ \frac{2}{\tau_2 - \tau_1}(t - \tau_1), & \tau_1 \leq t \leq \tau_2, \\ 1 & \tau_2 < t \leq \hat{T}. \end{cases}$$

Соответствующее решение уравнений (1) на интервале  $[\tau_1, \tau_2]$  имеет вид

$$x_2(t) = \frac{2}{\tau_2 - \tau_1} \frac{(t - \tau_1)^2}{2} - (t - \tau_1) + x_2(\tau_1),$$

$$x_1(t) = \frac{1}{\tau_2 - \tau_1} (t - \tau_1)^3 - \frac{(t - \tau_1)^2}{2} + x_1(\tau_1)(t - \tau_1) + x_1(\tau_1),$$

откуда имеем

$$x_2(\tau_s) = x_2(\tau_1), \quad (12)$$

$$x_1(\tau_2) = -\frac{1}{6}(\tau_2 - \tau_1)^2 + x_2(\tau_1)(\tau_2 - \tau_1) + x_2(\tau_1). \quad (13)$$

Учитывая соотношения (12) и (13), получаем уравнение кривой переключения от управления  $u = -1$  к  $u = (at+b)/2\varepsilon$ ,

$$x_1 = \varphi(\varepsilon)x_2^2, \quad \text{где } \varphi(\varepsilon) = \frac{\delta\varepsilon^2}{3(\varepsilon-1)^2} + \frac{4\varepsilon}{1-\varepsilon} + \frac{1}{2}.$$

Таким образом, объединяя два симметричных случая а), б), при  $0 < \varepsilon < 1$  получаем такую фазовую картину (рис. 3).

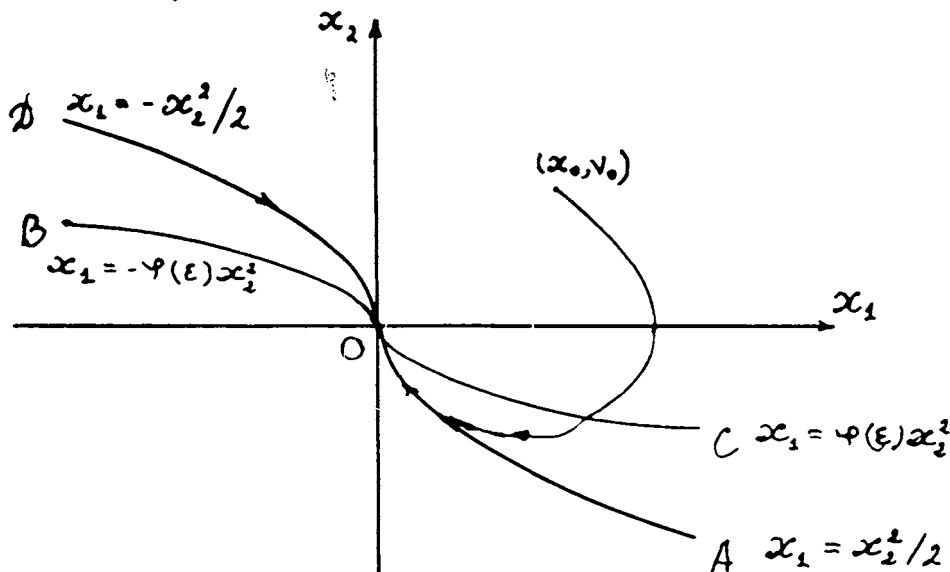


Рис. 3.

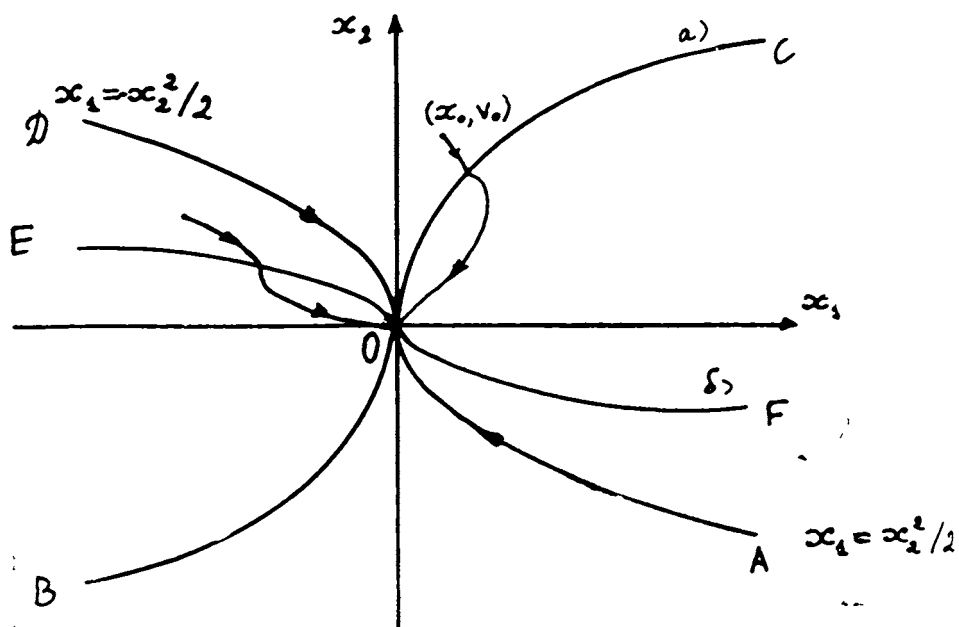


Рис. 4.

Выше линии DOC и на дуге DO управление равно  $-1$ , а ниже линии AOB и на дуге AO  $-1$ . И наконец между линиями DOC и AOB и на BOC управление равно  $(at+b)/2\epsilon$ . Заметим, что постоянные  $a$  и  $b$  можно выразить через  $x_0$  и  $v_0$ .

При  $\epsilon=1$  линия переключения  $x_1=\varphi(\epsilon)x_2^2$  совпадает с осью  $x_1$ . Синтез при  $1<\epsilon<4$  имеет следующий вид (рис. 4).

Уравнения кривых а), б) соответственно есть

$$\text{а) } x_1 = -\frac{2}{3} \frac{(\epsilon - 2\sqrt{\epsilon})}{(\sqrt{\epsilon} - 1)} x_2^2 \quad x_2 \geq 0; \quad \text{б) } x_1 = \frac{2}{3} \frac{(\epsilon + 2\sqrt{\epsilon})}{(\sqrt{\epsilon} + 1)} x_2^2 \quad x_2 \leq 0,$$

при  $x_2 < 0 (>)$  знаки правых частей меняются на обратные. Оптимальное управление равно  $-1$  вверх от линии EOC,  $1$  — вниз от линии BOF и  $(at+b)/2\epsilon$  — между линиями EOC и BOF. При  $\epsilon=4$  кривая а) совпадает с осью  $x_2$ .

Когда  $4 < \epsilon < 9$ , фазовая картина принимает следующий вид (рис. 5).

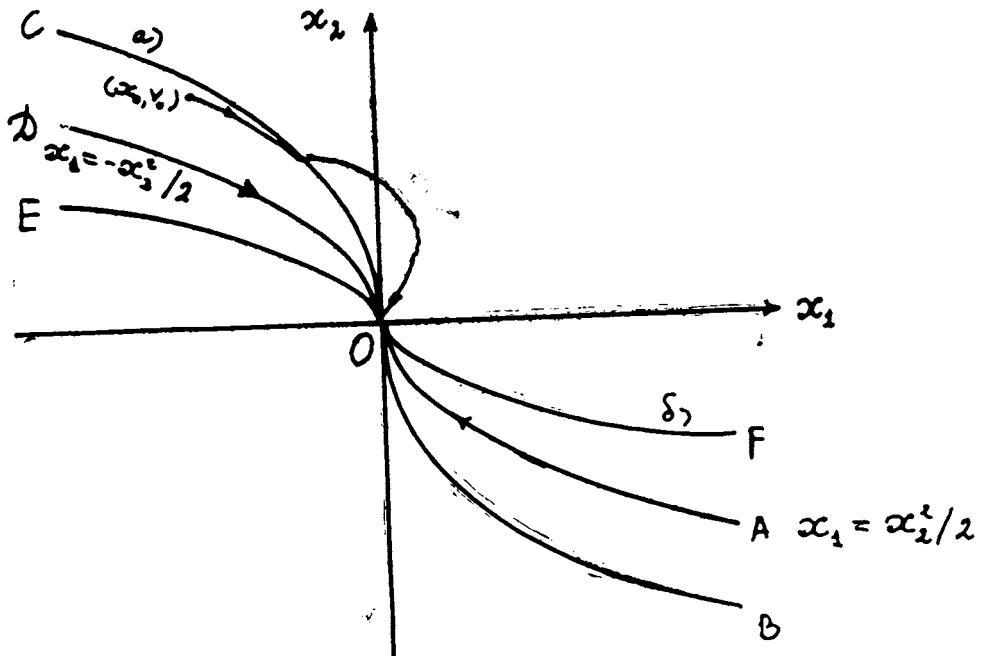


Рис. 5.

Управление равно  $-1$  между CO и EO,  $1$  — между FO и BO. Выше FOC и ниже BOE управление равно  $(at+b)/2\epsilon$ . При  $\epsilon=9$  кривая а) совпадает с Г (см. рис. 5) и для любой точки  $(x_0, v_0) \in \Gamma$  существуют две допустимые траектории, соответствующие управлению  $\hat{u}(t) \equiv 1$  или  $\hat{u}(t) \equiv -1$  и  $\hat{u}(t) = \frac{at+b}{2\epsilon}$ , которые удовлетворяют принципу минимума.

Как показывают расчеты, значение функционала на обеих кривых одно и то же. Случай  $\epsilon > 9$  остается открытым, когда  $(x_0, v_0) \notin \Gamma$ , если же  $(x_0, v_0) \in \Gamma$ , ответ задачи однозначен.

Перейдем к решению задачи III.

$$\text{III} \quad \int_0^T (1 + \epsilon \dot{x}^2) dt \rightarrow \inf, \quad \ddot{x} = u, \quad |u| \leq 1, \quad x(0) = x_0, \quad \dot{x}(0) = v_0,$$

$$\epsilon \geq 0, T - \text{свободно}, \quad x(T) = \dot{x}(T) = 0.$$

Решение задачи III обеспечивает минимальность затрат энергии на формирование управляющего воздействия и времени переходного процесса.

После замены переменных III сводится к следующей задаче:

$$\int_0^T (1 + \epsilon x_2^2) dt \rightarrow \inf, \quad \begin{cases} \dot{x}_1 = x_2 & |u| \leq 1, \quad x_1(0) = x_0, \quad x_2(0) = v_0, \\ \dot{x}_2 = u & x_1(T) = x_2(T) = 0. \end{cases}$$

$$\epsilon \geq 0, \quad T - \text{свободно},$$

Уравнения Эйлера имеют вид

$$\hat{p}_1 = 0, \quad \hat{p}_2 - \hat{p}_1 + 2\epsilon \hat{\lambda}_0 x_2 = 0. \quad (14)$$

Условие стационарности по Т:

$$\hat{\lambda}_0 (1 + \epsilon \hat{x}_2^2(\hat{T})) + \hat{\mu}_1 \hat{x}_2(\hat{T}) + \hat{\mu}_2 \hat{u}(\hat{T}) = 0. \quad (15)$$

Условие минимальности по u:

$$-\hat{p}_2(t) \hat{u}(t) \leq -\hat{p}_2(t) u \text{ при } |u| \leq 1.$$

Из (14) и (1) следует

$$\hat{u}(t) = \text{sign} \hat{p}_2(t). \quad (16)$$

Можно считать, что  $\hat{\lambda}_0 = 1$ , когда  $(x_0, v_0) \in \Gamma$ . Из условий (1), (14), (16) имеем

$$\hat{p}_2 = 2\epsilon \text{sign} \hat{p}_2. \quad (17)$$

Будем искать глобальные решения уравнения (17) на отрезке  $[0, \hat{T}]$  и соответствующие им по (16) оптимальные управление. Из (15) следует  $|\hat{p}_2(\hat{T})| = 1$ . Возможны два симметричных варианта:

$$1) \hat{p}_2(\hat{T}) = 1, \quad 2) \hat{p}_2(\hat{T}) = -1.$$

Рассмотрим вариант 1).

В окрестности точки  $\hat{T}$   $\hat{p}_2(t)$  имеет вид

$$\hat{p}_2(t) = \epsilon(t - \hat{T})^2 + B(t - \hat{T}) + 1.$$

Введя обозначение  $t - \hat{T} = z$ , рассмотрим квадратное уравнение

$$\epsilon z^2 + Bz + 1 = 0, \quad z = (-B \pm \sqrt{B^2 - 4\epsilon})/2\epsilon.$$

При  $B < 2\sqrt{\epsilon}$   $\hat{p}_2(t) > 0$  и, следовательно,  $\hat{u}(t) \equiv 1$ .

Ближайший к  $\hat{T}$  нуль функции  $\hat{p}_2(t)$  обозначим через  $\tau$ . Если  $B > 2\sqrt{\epsilon}$ , то можно показать, что он удален от  $\hat{T}$  не более, чем на  $1/\sqrt{\epsilon}$ . Левее точки  $\tau$  надо уже решать уравнение  $\dot{y} = -2\epsilon$  с начальными ус-

ловиями  $y(\tau) = 0$ ,  $\dot{y}(\tau) = \hat{p}(\tau)$ . Если  $B > 2\sqrt{\epsilon}$ , то глобальное решение (17) имеет ровно один нуль. Если же  $B = 2\sqrt{\epsilon}$ , то левее точки  $\tau = T - \frac{1}{\sqrt{\epsilon}}$  надо решать уравнение  $\ddot{y} = 0$  с начальными условиями  $y(\tau) = \dot{y}(\tau) = 0$ , решение которого—тождественный нуль.

Пусть на отрезке  $[t_1, T - \frac{1}{\sqrt{\epsilon}}]$   $\hat{p}_2(t)$  равно нулю, причем  $t_1 \neq 0$ .

На интервале  $[0, t_1]$   $\hat{p}_2(t)$  можно продолжить как решение уравнения  $\ddot{y} = 2\epsilon$  с начальными условиями  $y(t_1) = \dot{y}(t_1) = 0$  или же  $\ddot{y} = -2\epsilon$   $y(t_1) = \dot{y}(t_1) = 0$ . Теперь выпишем всевозможные управления, полученные нами:

$$\hat{u}(t) = 1; \quad \hat{u}(t) = \begin{cases} -1 & 0 \leq t \leq \tau, \\ 1 & \tau < t \leq \hat{T}, \text{ причем } |\tau - \hat{T}| \leq \frac{1}{\sqrt{\epsilon}}; \end{cases}$$

$$\hat{u}(t) = \begin{cases} -1 & 0 \leq t \leq t_1, \\ 0 & t_1 < t < \hat{T} - \frac{1}{\sqrt{\epsilon}}, \\ 1 & \hat{T} - \frac{1}{\sqrt{\epsilon}} \leq t \leq \hat{T}; \end{cases} \quad \hat{u}(t) = \begin{cases} 1 & 0 \leq t < t_1, \\ 0 & t_1 < t < \hat{T} - 1/\sqrt{\epsilon}, \\ 1 & \hat{T} - 1/\sqrt{\epsilon} \leq t \leq \hat{T}. \end{cases}$$

Линия переключения управления есть

$$x_2 = -\sqrt{2}x_1, \quad 0 \leq x_1 \leq 1/2\epsilon \text{ и } x_2 = -1/\sqrt{\epsilon}, \quad x_1 \geq 1/2\epsilon.$$

Учитывая симметричный вариант, в фазовой плоскости окончательно получим такую картину.

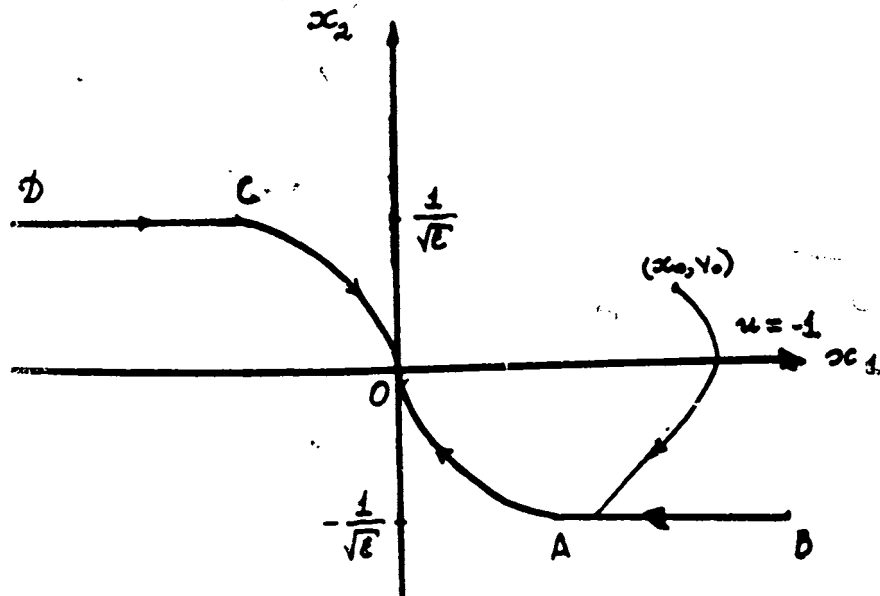


Рис. 6.

Функция синтеза задачи III имеет следующий вид:

$$u(x_1, x_2) = \begin{cases} -1 & \text{выше линий } DSOAB \text{ и на } CO, \\ 1 & \text{ниже линии } DSOAB \text{ и на } AO. \\ 0 & \text{на линиях } DC \text{ и } AB. \end{cases}$$

Приведем доказательство существования решения для задачи II.  
Обозначим

$$I(x(\cdot), T) = \int_0^T (1 + \epsilon \dot{x}^2) dt.$$

Существует функция  $\bar{x}(\cdot)$ , определенная на отрезке  $(0, \bar{T})$  и удовлетворяющая условиям

$$|\ddot{x}| \leq 1, \quad \bar{x}(0) = x_0, \quad \dot{\bar{x}}(0) = v_0, \quad \dot{\bar{x}}(\bar{T}) = \dot{x}(\bar{T}) = 0.$$

Рассмотрим семейство функций  $W$ , определенных на  $[0, \bar{T}]$  и обладающих такими свойствами:

$$1. |\ddot{x}| \leq 1, \quad x(0) = x_0, \quad \dot{x}(0) = v_0;$$

$$2. \exists T \in [0, \bar{T}] \text{ такое, что } x(t) = \dot{x}(t) = 0, \forall t \in [T, \bar{T}].$$

Семейство  $W$  компактно в пространстве  $C([0, \bar{T}])$ . Это следует из равностепенной непрерывности и равномерной ограниченности  $W$  (теорема Арцела, см. [4]).

Обозначим через  $(x_n(\cdot), T_n)$  минимизирующую последовательность для нашего функционала, то есть

$$\lim_{n \rightarrow \infty} \int_0^{T_n} (1 + \epsilon \ddot{x}_n^2) dt = \mu = \inf I(x(\cdot), T).$$

Доопределим нулем  $x_n(\cdot)$  на  $[T_n, \bar{T}]$ . Тогда  $x_n(\cdot) \in W$ . В силу компактности  $W$  существует подпоследовательность  $x_{n_k}(\cdot)$ , равномерно сходящаяся к  $\hat{x}(\cdot)$ , причем  $\hat{x}(\cdot) \in W$ , так как  $W$  замкнуто. Пусть  $[0, \hat{T}]$ —носитель  $\hat{x}(\cdot)$ . Покажем, что

$$\int_0^{\hat{T}} (1 + \epsilon \ddot{x}^2) dt \leq \lim_{k \rightarrow \infty} \int_0^{T_{n_k}} (1 + \epsilon \ddot{x}_{n_k}^2) dt = \mu.$$

Легко доказать, что

$$\hat{T} \leq \lim_{k \rightarrow \infty} T_{n_k}. \tag{18}$$

Убедимся, что если  $x_{n_k}(\cdot)$  равномерно сходится к  $\hat{x}(\cdot)$ , то  $\dot{x}_{n_k}(\cdot)$  сходится слабо в  $L_2([0, \bar{T}])$  к  $\dot{\hat{x}}(\cdot)$ . Надо показать, что

$$\lim_{k \rightarrow \infty} \int_0^{\bar{T}} \ddot{x}_{n_k}(t) g(t) dt = \int_0^{\bar{T}} \hat{x}(t) g(t) dt, \quad \forall g(t) \in L_2([0, \bar{T}]). \quad (19)$$

Но поскольку класс бесконечно дифференцируемых функций всюду плотен в  $L_2([0, T])$ , достаточно (19) доказать для  $\forall g(t) \in C^\infty([0, \bar{T}])$ . Имеем

$$\int_0^{\bar{T}} \ddot{x}_{n_k}(t) g(t) dt = -v_0 g(0) + x_0 \dot{g}(0) + \int_0^{\bar{T}} x_{n_k}(t) \ddot{g}(t) dt. \quad (20)$$

Поскольку  $x_{n_k}(\cdot) \rightharpoonup \hat{x}(\cdot)$ , то, переходя в (20) к пределу, получаем

$$\lim_{k \rightarrow \infty} \int_0^{\bar{T}} \ddot{x}_{n_k}(t) g(t) dt = -v_0 g(0) + x_0 \dot{g}(0) + \int_0^{\bar{T}} \hat{x}(t) \ddot{g}(t) dt = \int_0^{\bar{T}} \hat{x}(t) g(t) dt.$$

С другой стороны, легко доказать следующее предложение.

Норма в банаховом пространстве полунепрерывна снизу относительно слабой сходимости, т. е.  $\|x\| \leq \liminf_{n \rightarrow \infty} \|x_n\|$ , где  $x_n \rightharpoonup x$  слабо.

И поэтому

$$\int_0^{\bar{T}} x^2 dt \leq \lim_{k \rightarrow \infty} \int_0^{\bar{T}} x_{n_k}^2 dt. \quad (21)$$

Из (18) и (21) следует, что для  $\forall \delta > 0 \exists N$ , что для  $n_k > N$

$$\begin{aligned} \int_0^{\bar{T}} (1 + \epsilon \hat{x}^2) dt &= \bar{T} + \epsilon \int_0^{\bar{T}} \hat{x}^2 dt \leq T_{n_k} + \delta + \epsilon \int_0^{T_{n_k}} \hat{x}_{n_k}^2 dt + \delta = \\ &= \int_0^{T_{n_k}} (1 + \epsilon \hat{x}_{n_k}^2) dt + 2\delta \xrightarrow{k \rightarrow \infty} \mu + 2\delta. \end{aligned}$$

В силу произвольности  $\delta$  имеем

$$\int_0^{\bar{T}} (1 + \epsilon \hat{x}^2) dt \leq \mu$$

и, следовательно,

$$\int_0^{\bar{T}} (1 + \epsilon \hat{x}^2) dt = \mu.$$

Таким образом, очевидно, что  $(\hat{x}(\cdot), \hat{T})$  — решение нашей задачи.

Подобно вышеизложенному, можно доказать существование решений для задач I и III.

В заключение авторы выражают благодарность проф. В. М. Тихомирову за постановку задач и внимание к работе.

*Кафедра дифференциальных  
уравнений и функционального анализа*

Поступила 6.07.1981

#### ЛИТЕРАТУРА

1. Понtryгин Л. С., Болтянский В. Г., Гамкrelidze Р. В., Мищенко Е. Ф. Математическая теория оптимальных процессов. М.: Наука, 1976.
2. Тихомиров В. М., Алексеев В. М., Фомин С. Ф. Оптимальное управление. М.: Наука, 1979.
3. Иоффе А. Д., Тихомиров В. М. Теория экстремальных задач. М.: Наука, 1974.
4. Колмогоров А. Н., Фомин С. В. Элементы теории функций и функционального анализа. М.: Наука, 1968.

Մ. Դ. ԳՐԻԳՈՐՅԱՆ, Ս. Ա. ԱՅՈՆՑ

ՍՊՏՒՄԱՀ ՂԵԿԱՎԱՐՄԱՆ ՄԻ ՔԱՆԻ ԽՆԴԻՐՆԵՐԻ ԼՐԻՇՈՒՄ

#### Ա. Ժ Փ Ա Փ Ո Ւ Մ

Օպտիմալ արագագործունեության կամ թուշառի խնդիրը կողմնորոշիչ դեր խաղաց օպտիմալ ղեկավարման տեսության ստեղծման համար:

Սույն հոդվածում լուծվում են օպտիմալ ղեկավարման երեք խնդիրներ, որոնք հանդիսանում են թուշառի խնդրի ընդհանրացումը:

Այդ խնդիրները լուծվում են օպտիմալ ղեկավարման խնդիրների համար կագրանժի սկզբունքի կիրառման եղանակով: Տրվում է լուծումների լրիվ սինթեզը և գոյության հիմնավորումը: